

Die Umsetzung von CNOSSOS-EU in Österreich

Herausforderungen – Arbeitspakete - Lösungsschritte

Christian Kirisits^{1,2}

¹ Ziviltechnikerbüro Kirisits, Pinkafeld-Wien

² Medizinische Universität Wien

Richtlinie 2002/49/EG über die Bewertung und Bekämpfung von Umgebungslärm

Belästigung

Grad der Lärmbelästigung in der Umgebung, der mit Hilfe von Feldstudien festgestellt wird;

Lärmindex

physikalische Größe für die Beschreibung des Umgebungslärms, der mit gesundheitsschädlichen Auswirkungen in Verbindung steht;

Dosis-Wirkung -Relation

Zusammenhang zwischen dem Wert eines Lärmindexes und einer gesundheitsschädlichen Auswirkung;

ANHANG I

LÄRMINDIZES

L_{night} ist der A-bewertete äquivalente Dauerschallpegel gemäß ISO 1996-2: 1987, wobei der Beurteilungszeitraum ein Jahr beträgt und die Bestimmungen an allen Kalendertagen in der Nacht erfolgen

ein Jahr ist das für die Lärmemission ausschlaggebende und ein hinsichtlich der Witterungsbedingungen durchschnittliches Jahr

$$L_{den} = 10 \lg \frac{1}{24} \left(13 \times 10^{\frac{L_{day}}{10}} + 3 \times 10^{\frac{L_{evening} + 5}{10}} + 8 \times 10^{\frac{L_{night} + 10}{10}} \right)$$

ANHANG II BEWERTUNGSMETHODEN FÜR LÄRMINDIZES

*"Bewertung" Methode zur Berechnung, Vorhersage,
Einschätzung oder Messung des Wertes des Lärmindexes oder
der damit verbundenen gesundheitsschädlichen Auswirkungen;*

Original:
Assessment ~ **Feststellung, Erfassung**

ANHANG II

LÄRMINDIZES

BEWERTUNGSMETHODEN FÜR



J R C R E F E R E N C E R E P O R T S

Neue Berechnungsvorschriften

Implementierung in Österreich
für Kartierung verpflichtend

für Genehmigungsverfahren
und Sanierung optional



Common Noise Assessment Methods in Europe (CNOSSOS-EU)

To be used by the EU Member States for
strategic noise mapping following adoption
as specified in the Environmental Noise Directive 2002/49/EC

Stylianos Kephalopoulos, Marco Paviotti,
Fabienne Anfosso-Lédée

2012

Report EUR 25379 EN



ANHANG III METHODEN ZUR BEWERTUNG DER GESUNDHEITSSCHÄDLICHEN AUSWIRKUNGEN

Für die Bewertung der Auswirkungen von Lärm auf die Bevölkerung sollten Dosis-Wirkung-Relationen verwendet werden. Die Dosis-Wirkung-Relationen, die durch künftige Änderungen dieses Anhangs nach Artikel 13 Absatz 2 eingeführt werden, betreffen insbesondere Folgendes:

- die Relation zwischen **Belästigung** und L_{den} für Straßenverkehrs-, Eisenbahn- und Fluglärm sowie für Industrie- und Gewerbelärm,
- die Relation zwischen **Schlafstörung** und L_{night} für Straßenverkehrs-, Eisenbahn- und Fluglärm sowie für Industrie- und Gewerbelärm.

ANHANG III METHODEN ZUR BEWERTUNG DER GESUNDHEITSSCHÄDLICHEN AUSWIRKUNGEN

EEA Technical report | No 11/2010

Good practice guide on noise exposure
and potential health effects

ISSN 1725-2237

Terminologie

- Richtlinie (EU) 2015/996 zur Festlegung gemeinsamer Lärmbewertungsmethoden gemäß Richtlinie 2002/49/EG
- Anhang II der Richtlinie 2002/49/EG
- CNOSSOS-EU

2.1. Allgemeine Bestimmungen – Straßenverkehrs-, Eisenbahn- und Industrie-/Gewerbelärm

2.1.2. Qualitätsrahmen

Genauigkeit der Eingangswerte

Alle Eingangswerte, die den Emissionspegel einer Quelle beeinflussen, sind mit mindestens der Genauigkeit zu bestimmen, die einer Unsicherheit von ± 2 dB (A) im Emissionspegel der Quelle entspricht (wobei alle anderen Parameter unverändert bleiben).

Nutzung von Standardwerten

generell nicht – Verhältnismäßigkeit der Kosten

Qualität der für die Berechnungen verwendeten Software

Testfällen

Kein direkter Hinweise auf ISO/TR 17534 Reihe (aus 2014 bzw. 2015),
Entwicklungen dazu sind aber zu beobachten!

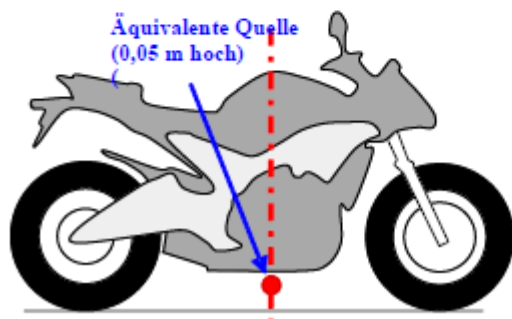
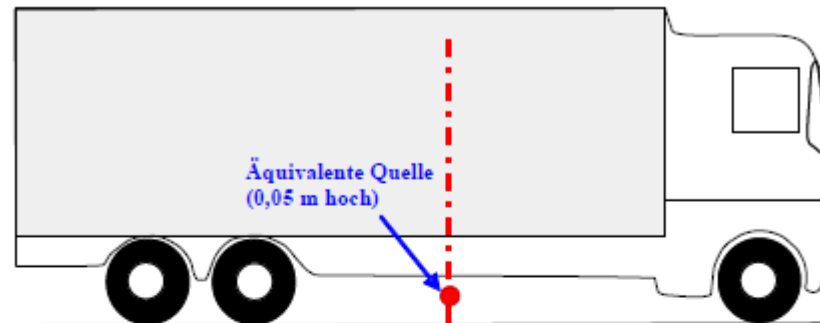
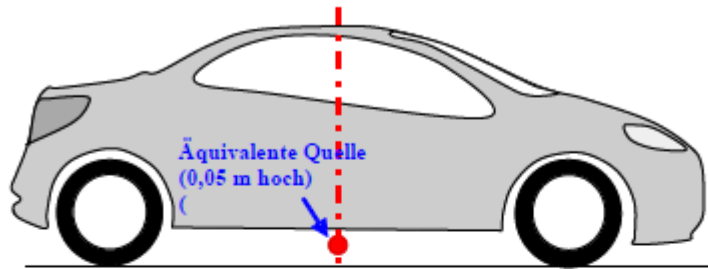
2.2. Straßenverkehrslärm

Fahrzeugklassen

Klasse	Bezeichnung	Beschreibung	Fahrzeugklasse in EG-Typgenehmigung für vollständige Fahrzeuge¹
1	Leichte Kraftfahrzeuge	PKW, Lieferwagen $\leq 3,5$ t, Geländewagen (SUV) ² , Großraumlimousinen ³ , einschließlich Anhänger und Wohnwagen	M1 und N1
2	Mittelschwere Fahrzeuge	Mittelschwere Fahrzeuge, Lieferwagen $> 3,5$ t, Busse, Wohnmobile usw. mit zwei Achsen und Doppelbereifung auf der Hinterachse	M2, M3 und N2, N3
3	Schwere Fahrzeuge	Schwere Nutzfahrzeuge, Reisebusse, Busse, mit drei oder mehr Achsen	M2 und N2 mit Anhänger, M3 und N3
4	Zweirädrige Kraftfahrzeuge	4a Zwei-, drei- und vierrädrige Mopeds	L1, L2, L6
		4b Motorräder mit und ohne Seitenwagen, drei- und vierrädrige Motorräder	L3, L4, L5, L7
5	Offene Klasse	Entsprechend dem künftigen Bedarf	k. A.

2.2. Straßenverkehrslärm

Ersatzschallquellen



2.2. Straßenverkehrslärm

Grundgleichungen

Schallleistungspegel pro Klasse und jährlichem Durchschnitt

$$L_{W',eq,line,i,m} = L_{W,i,m} + 10 \times \lg \left(\frac{Q_m}{1000 \times v_m} \right)$$

$$L_{W,i,m}(v_m) = 10 \times \lg \left(10^{L_{WR,i,m}(v_m)/10} + 10^{L_{WP,i,m}(v_m)/10} \right)$$

Rollgeräusch

$$L_{WR,i,m} = A_{R,i,m} + B_{R,i,m} \times \lg \left(\frac{v_m}{v_{ref}} \right) + \Delta L_{WR,i,m}$$

$$\Delta L_{WR,i,m} = \Delta L_{WR,road,i,m} + \Delta L_{studdedtyres,i,m} + \Delta L_{WR,acc,i,m} + \Delta L_{W,temp}$$

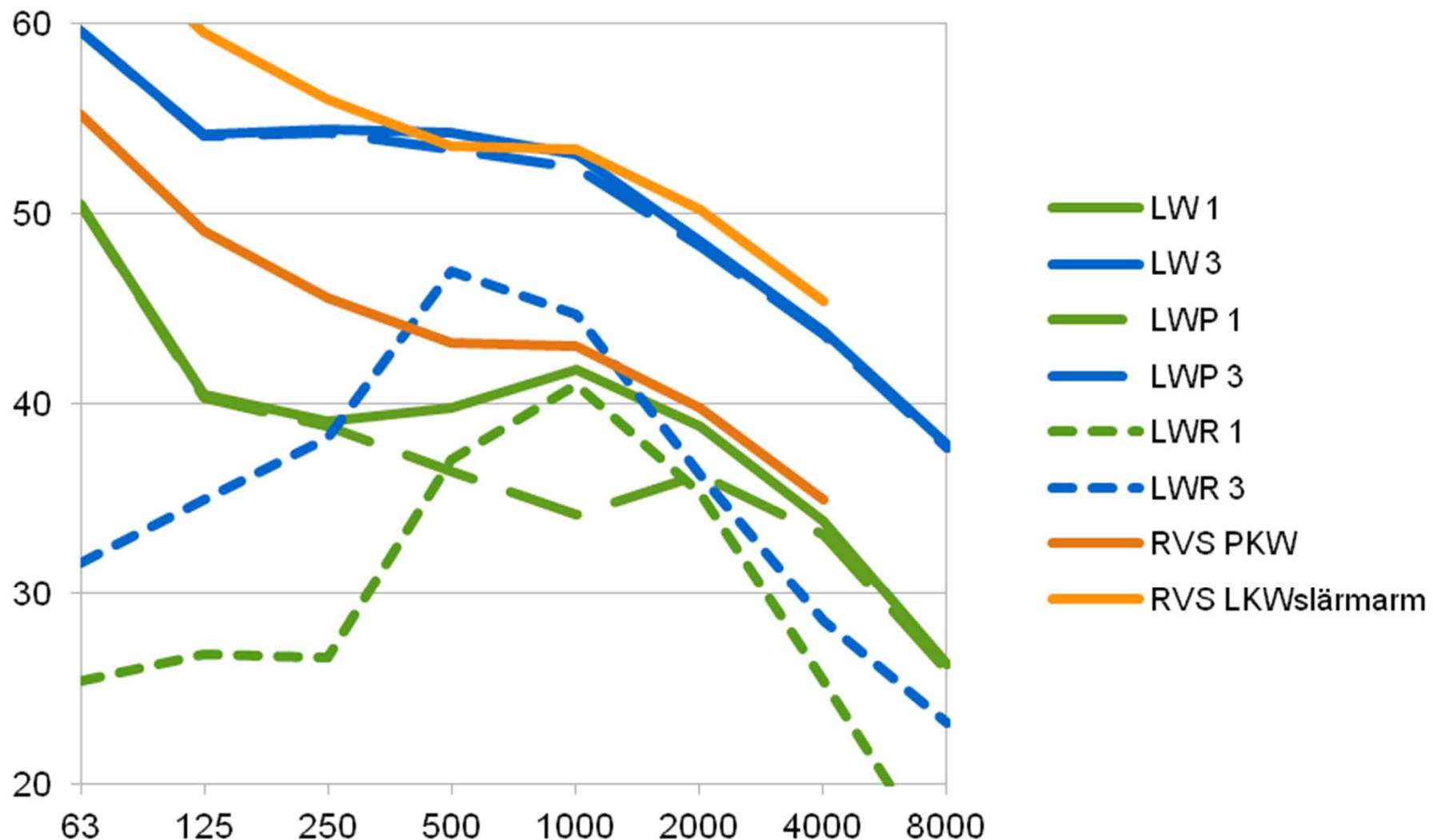
Antriebsgeräusch

$$L_{WP,i,m} = A_{P,i,m} + B_{P,i,m} \times \frac{(v_m - v_{ref})}{v_{ref}} + \Delta L_{WP,i,m}$$

$$\Delta L_{WP,i,m} = \Delta L_{WP,road,i,m} + \Delta L_{WP,grad,i,m} + \Delta L_{WP,acc,i,m}$$

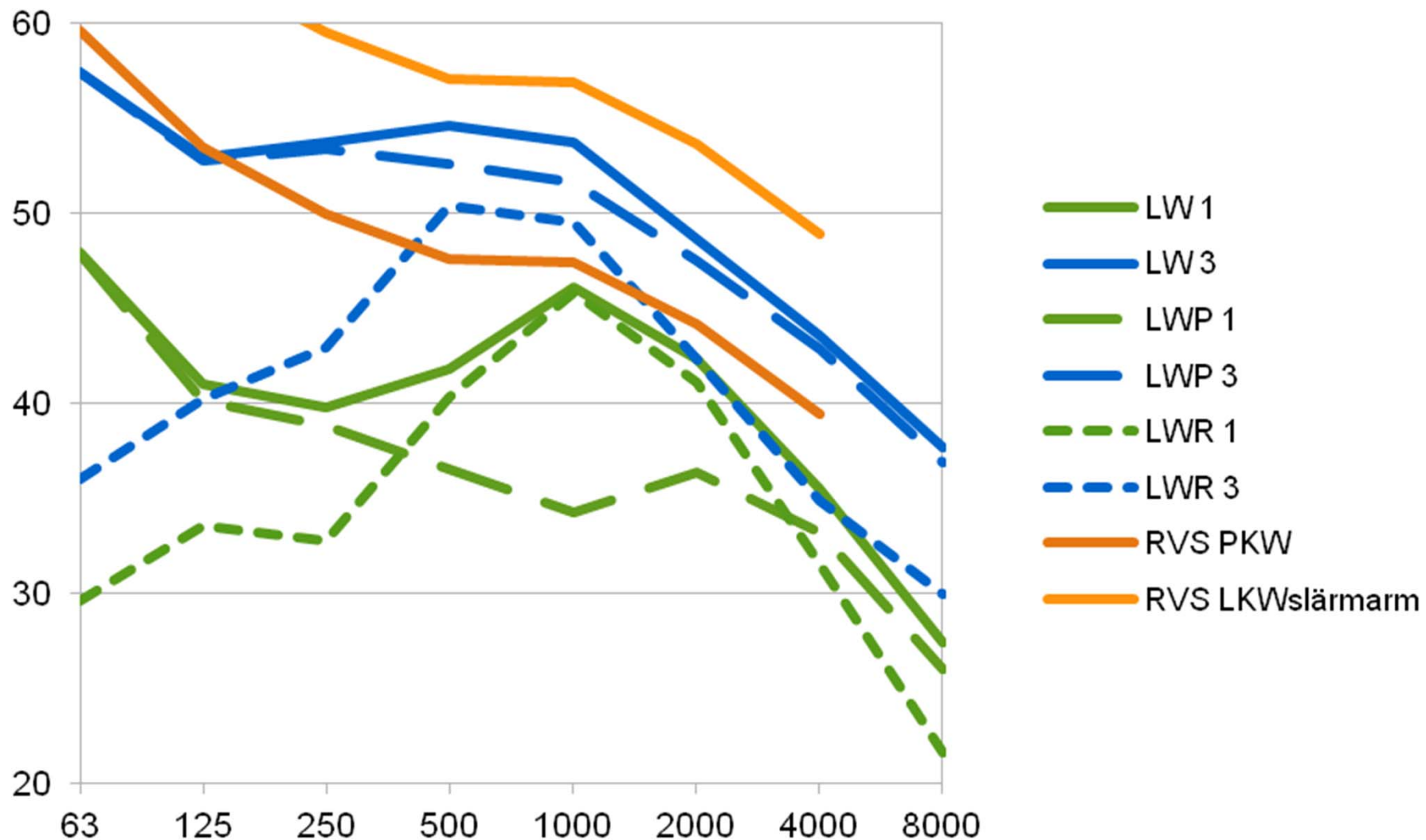
2.2. Straßenverkehrslärm

Spektren – 30 km/h

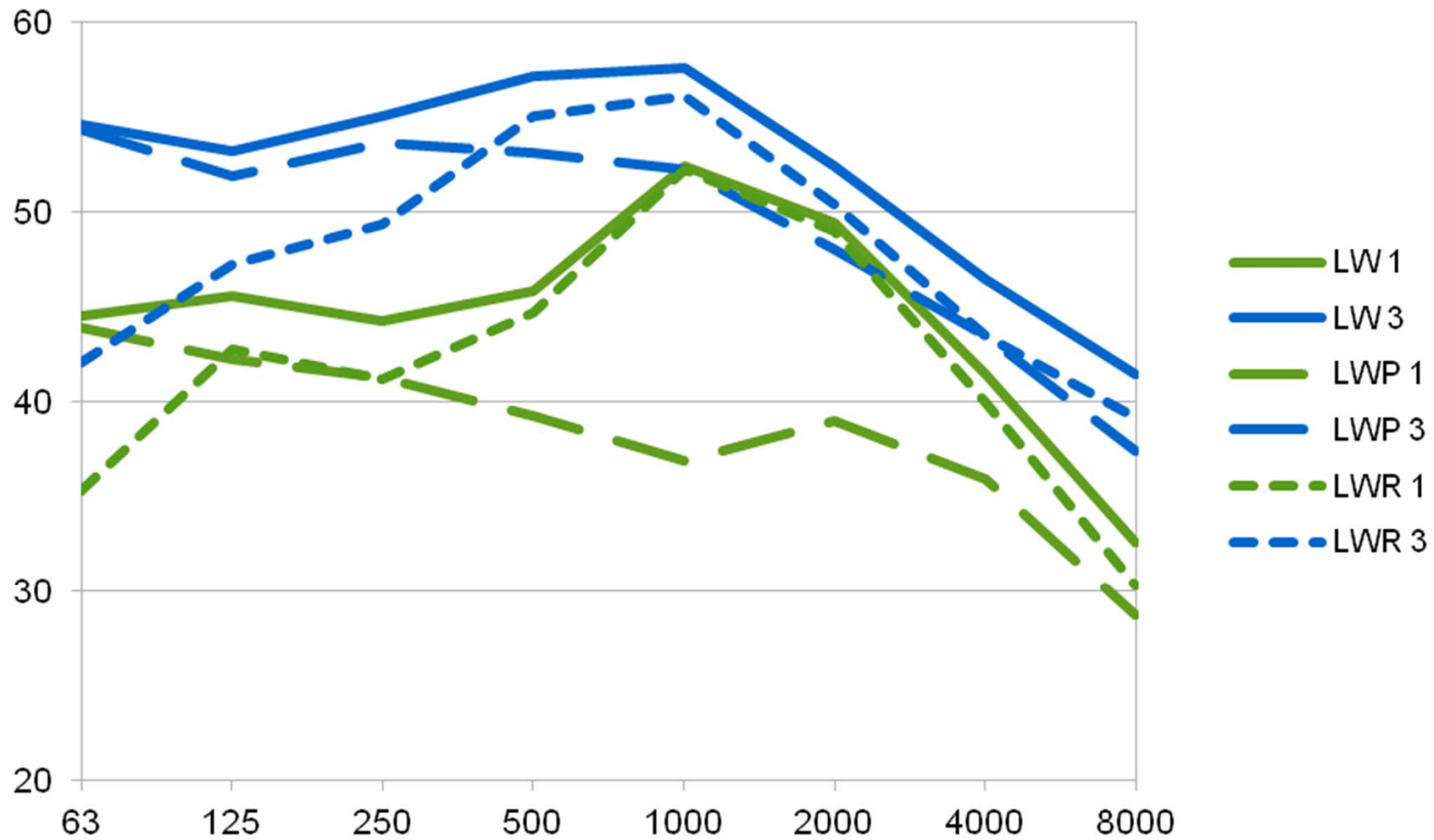


2.2. Straßenverkehrslärm

Spektren – 50 km/h

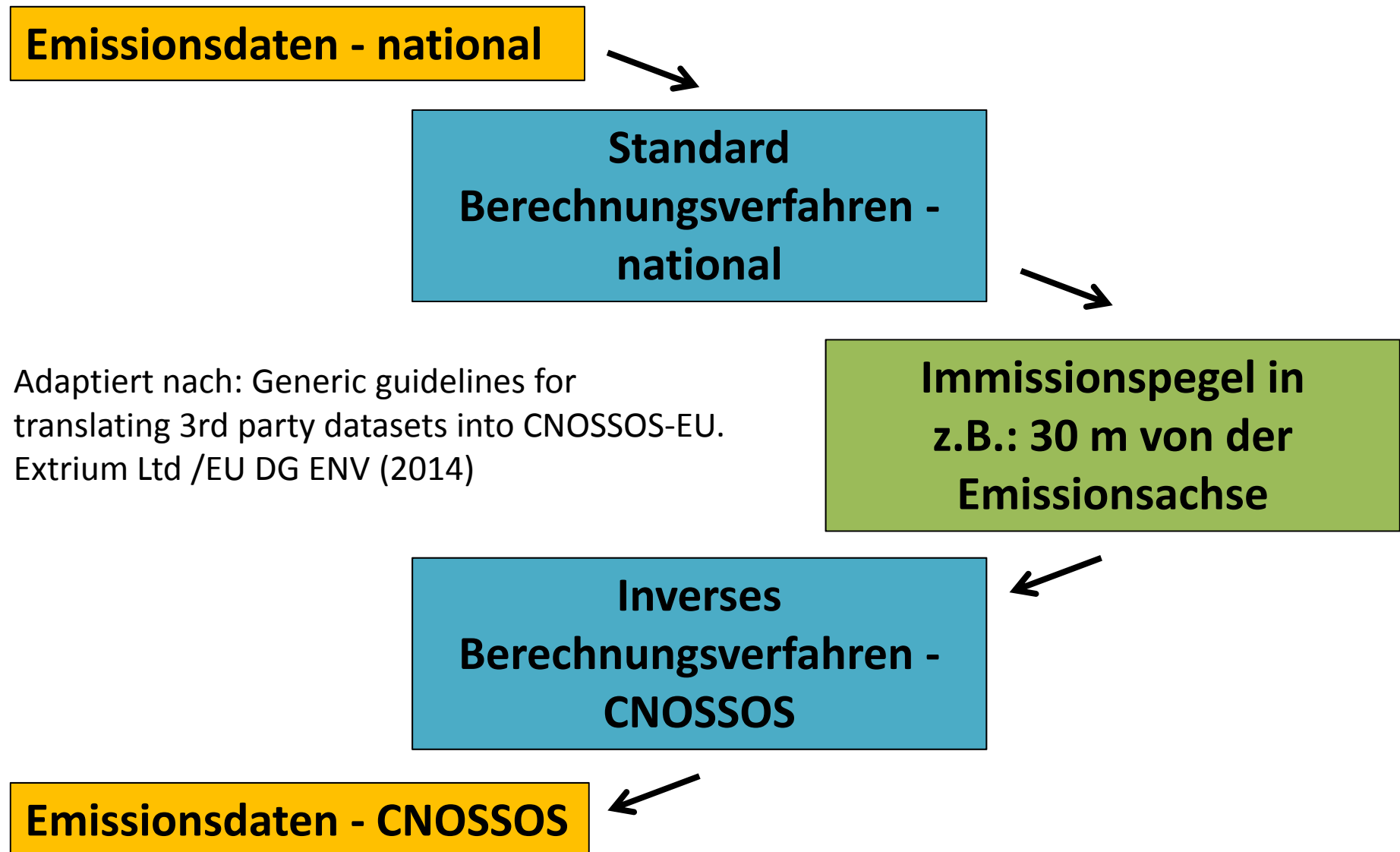


2.2. Straßenverkehrslärm Spektren – 100 km/h



2.2. Straßenverkehrslärm

Bestimmung aus nationalen Daten



2.2. Straßenverkehrslärm

Verknüpfung mit Ausbreitungsrechnung ($G=0$)

ÖAL 28

IP	63 Hz	125 Hz	250 Hz	500 Hz	1000 Hz	2000 Hz	4000 Hz	8000 Hz
7,5 m /1,2 m	-8,6	-8,7	-8,7	8,7	-8,8	-8,9	-9,2	-9,7
25 m /1,2 m	-13,9	-14,0	-14,0	-14,1	-14,2	-14,5	-15,2	-16,6

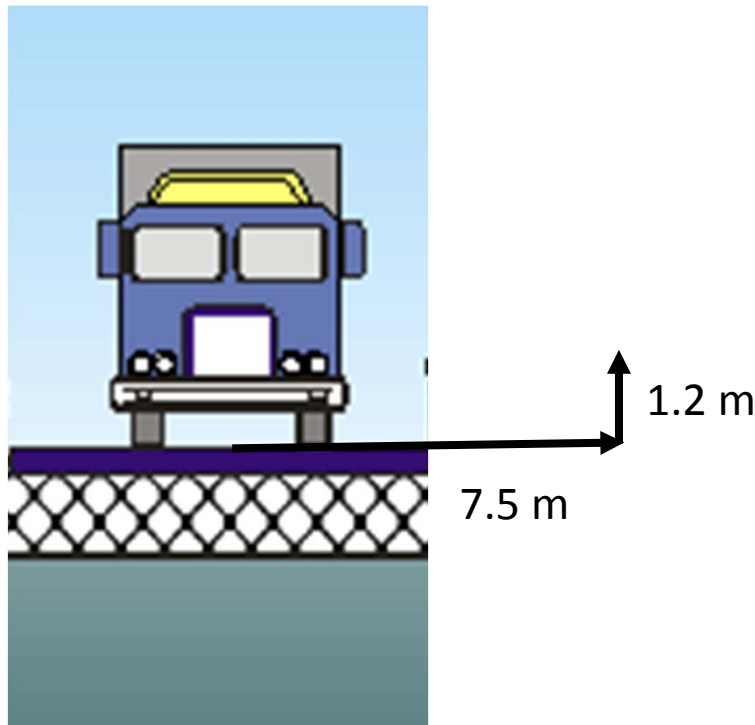
ISO 9613-2

Lw	3,0	3,0	3,0	3,0	3,0	3,0	3,1	3,4
7,5 m /1,2 m	-8,7	-8,7	-8,7	-8,7	-8,8	-8,9	-9,2	-10,3
25 m /1,2 m	-13,9	-14,0	-14,0	-14,1	-14,2	-14,6	-15,7	-18,6

CNOSSOS-EU

Lw	3,0	3,0	3,0	3,0	3,0	3,1	3,1	3,4
7,5 m /1,2 m	-8,8	-8,8	-8,8	-8,8	-8,9	-9,0	-9,4	-10,3
25 m /1,2 m	-14,1	-14,1	-14,2	-14,2	-14,3	-14,6	-15,7	-18,5

Road – geometry



Standard values:

a constant vehicle speed
a flat road
an air temperature $\tau_{ref} = 20 \text{ }^{\circ}\text{C}$
a virtual reference road surface,
consisting of an average of dense asphalt
concrete 0/11 and stone mastic asphalt
0/11, between 2 and 7 years old and in a
representative maintenance condition
a dry road surface
no studded tyres.

Hard ground (material identifier H, G=0)
Geometry according to ISO 11819

Road – variations

Road pavement:

No variation – fixed definition by national regulations

Air temperature:

$$K_m (\tau_{\text{ref}} - \tau_r)$$

$K_m = 0.08$ for light motor vehicles (0.04 for heavy vehicles)

City	Mean temperature	Difference to 20°C
Helsinki	5.9 °C	+1.1 dB
Malta	23.2 °C	-0.3 dB

Within Austria

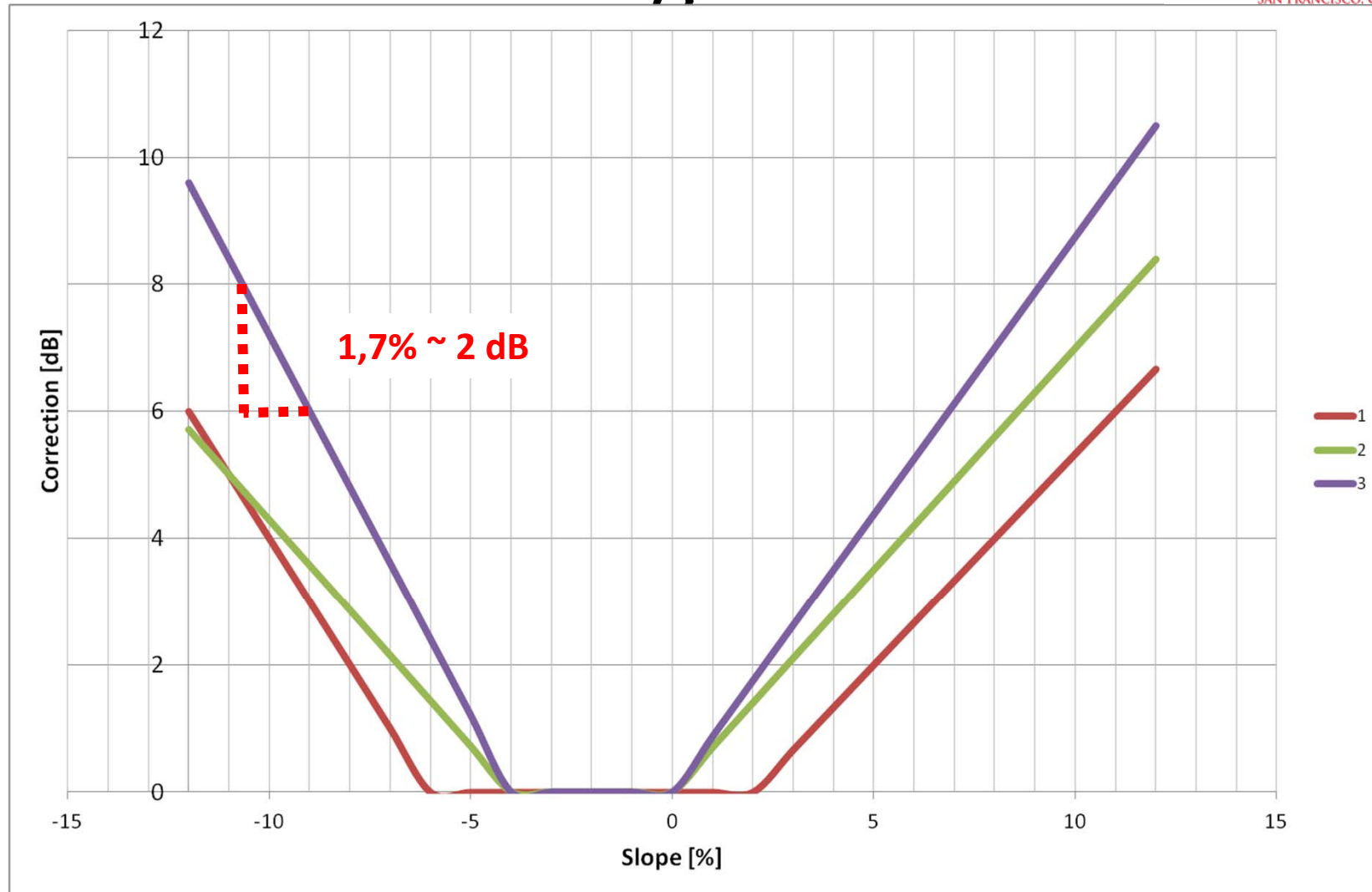
Vienna 13°C Coldest below 1000 m 7°C

Systematic variation 0.8 dB

If reference set to 10°C – random variation 0.3 dB

Day/night 5° difference ~ 0.2 dB - but if combining rolling noise and propulsion noise for heavy vehicles < 0.05 dB

Road gradient



Vehicle speed 100 km/h for m=1, 70 km/h for m=2,3

Aus: Kirisits, Lechner. Internoise 2015

Road

Studded tires:

Percentage of light motor vehicles with studded tires in Austria:

< 10%

5 months allowed

Deviation of 0.2 dB for 50 km/h

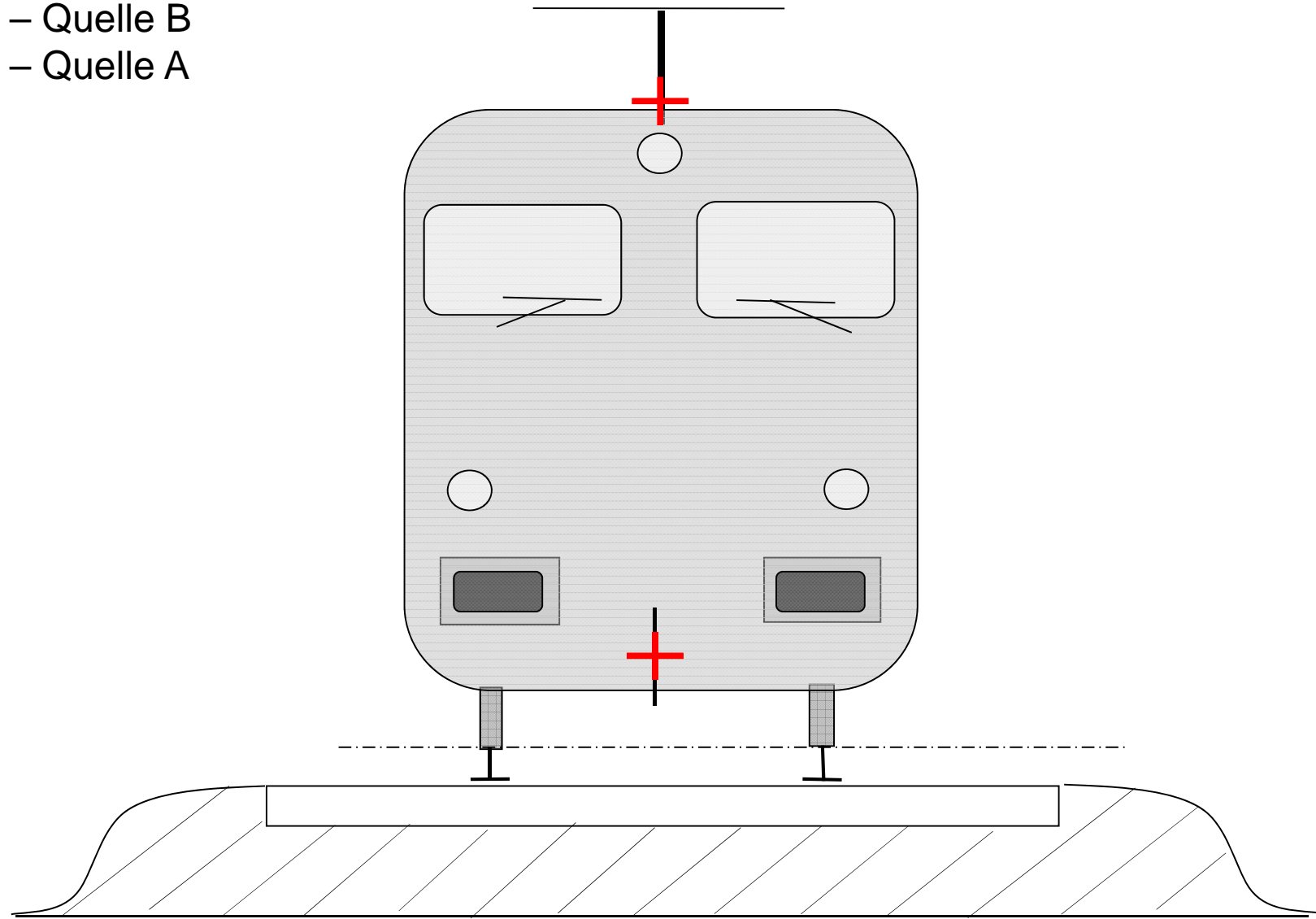
Intersections with crossings and roundabouts:

Highly depending on geometry and location

2.3. Eisenbahnlärm Ersatzschallquellen

4.0 m – Quelle B

0.5 m – Quelle A



2.3. Eisenbahnlärm

Schallquellen

- 1) Rollgeräusche**
- 2) Antriebsgeräusche**
- 3) aerodynamische Geräusche**
- 4) stoßartige Geräusche**
- 5) Bremsgeräusche**
- 6) Geräusche aufgrund zusätzlicher Einflussfaktoren wie Brücken und Viadukte**

2.3. Eisenbahnlärm Grundgleichungen

Schallleistungspegel pro Klasse und
jährlichem Durchschnitt

$$L_{W,eq,line,i}(\psi, \varphi) = L_{W,0,dir,i}(\psi, \varphi) + 10 \times \lg\left(\frac{Q}{1000v}\right) \quad (\text{für } c = 1)$$

Richtcharakteristik

$$L_{W,0,dir,i}(\psi, \varphi) = L_{W,0,i} + \Delta L_{W,dir,vert,i} + \Delta L_{W,dir,hor,i}$$

Kombination Rauheit (Kontakfilter)

$$L_{R,TOT,i} = 10 \cdot \lg\left(10^{L_{r,TR,i}/10} + 10^{L_{r,VEH,i}/10}\right) + A_{3,i}$$

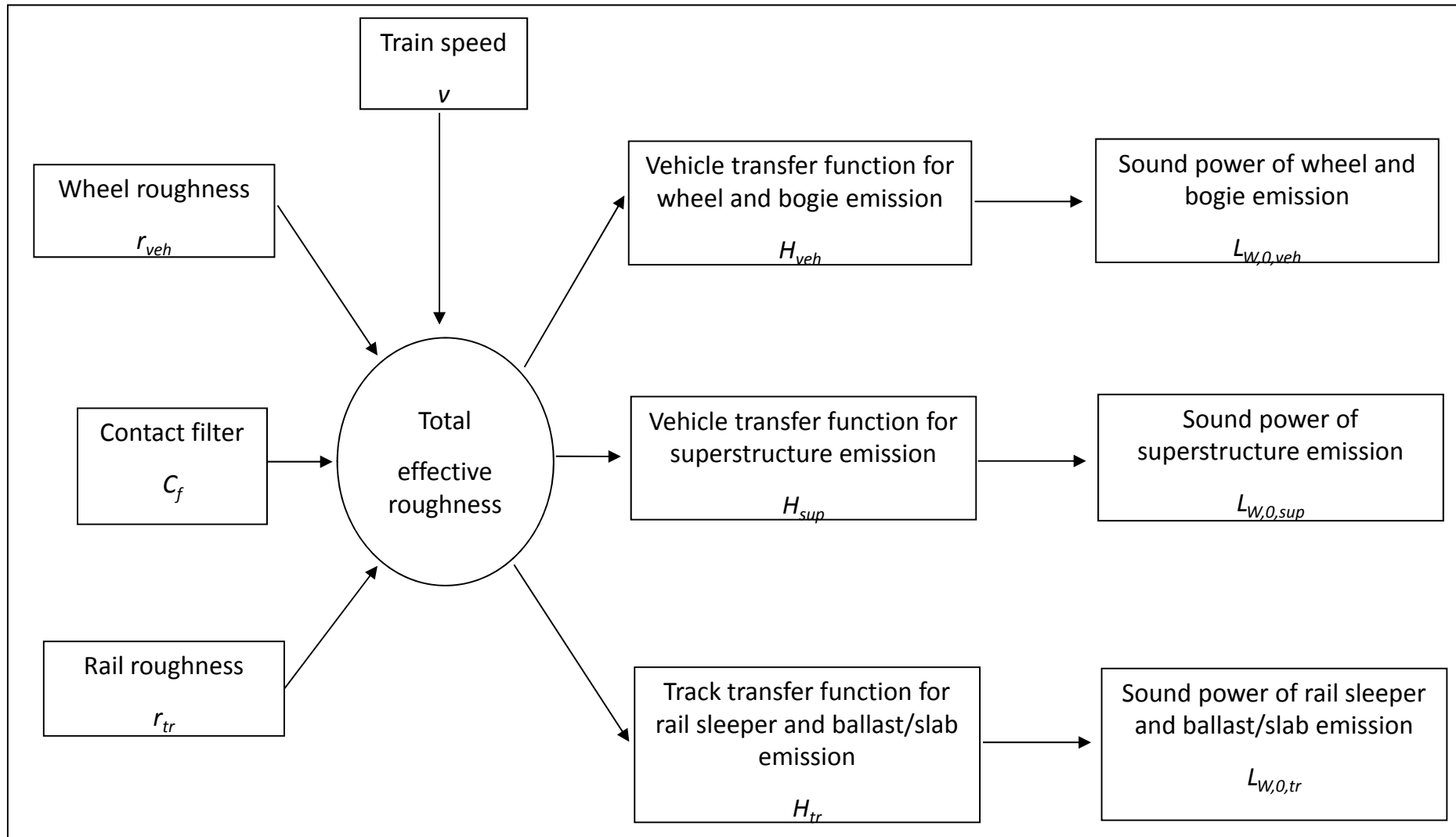
Transferfunktionen

$$L_{W,0,TR,i} = L_{R,TOT,i} + L_{H,TR,i} + 10 \times \lg(N_a)$$

$$L_{W,0,VEH,i} = L_{R,TOT,i} + L_{H,VEH,i} + 10 \times \lg(N_a)$$

2.3. Eisenbahnlärm

Rauheit und Transferfunktionen



2.3. Eisenbahnlärm

Rauheit und Transferfunktionen

[Hz]			50	63	80	100	125	160	200	250	315	400	500	630	800
LwEqLine	A		57,2647	59,1756	62,403	64,6604	63,3462	63,4332	64,0839	67,2878	66,7649	68,498	70,6234	70,6048	72,2222
Lw0dir	A		92,7931	94,704	97,9314	100,189	98,8746	98,9616	99,6123	102,816	102,293	104,026	106,152	106,133	107,751
Lw0dir	A	rolling	92,7931	94,704	97,9314	100,189	98,8746	98,9616	99,6123	102,816	102,293	104,026	106,152	106,133	107,751
Lw0	A	rolling	92,5605	94,4675	97,6899	99,9416	98,6204	98,6982	99,3387	102,531	101,993	103,709	105,815	105,775	107,367
Lw0dir	A	traction	0,232595	0,236503	0,241499	0,24722	0,254145	0,263448	0,273571	0,285534	0,300076	0,317606	0,336414	0,358458	0,384005
Lw0	A	traction	0	0	0	0	0	0	0	0	0	0	0	0	0
Lw0dir	A	aerodynamic	0,232595	0,236503	0,241499	0,24722	0,254145	0,263448	0,273571	0,285534	0,300076	0,317606	0,336414	0,358458	0,384005
Lw0	A	aerodynamic	0	0	0	0	0	0	0	0	0	0	0	0	0
deltaLw0dir\A			0,232595	0,236503	0,241499	0,24722	0,254145	0,263448	0,273571	0,285534	0,300076	0,317606	0,336414	0,358458	0,384005
deltaLw0dirHorz			0	0	0	0	0	0	0	0	0	0	0	0	0
LwTr			61,1574	68,1574	76,4571	86,4431	89,8083	90,5721	90,0009	92,8376	96,1744	102,105	105,203	105,176	106,988
LwVeh			92,5574	94,4574	97,6571	99,7431	98,0083	97,9721	98,8009	102,038	100,674	98,605	97,0033	96,8757	96,5875
LwVehSup			17,1574	17,1574	16,5571	15,6431	14,7083	13,6721	12,8009	11,9376	10,8744	9,60504	8,20333	6,47571	4,18754
deltaLsqueal			0	0	0	0	0	0	0	0	0	0	0	0	0
deltaLbridge			0												
Lrtot			11,1368	11,1368	10,5365	9,62245	8,68773	7,65152	6,78034	5,91705	4,85384	3,58444	2,18273	0,455108	-1,83306
LHTr			44	51	59,9	70,8	75,1	76,9	77,2	80,9	85,3	92,5	97	98,7	102,8
LHVeh			75,4	77,3	81,1	84,1	83,3	84,3	86	90,1	89,8	89	88,8	90,4	92,4
LHVehSup			0	0	0	0	0	0	0	0	0	0	0	0	0
LrRough			11,1368	11,1368	10,5365	9,62245	8,68773	7,65152	6,78034	5,91705	4,85384	3,58444	2,18273	0,455108	-1,83306

2.3. Eisenbahnlärm Vergleich

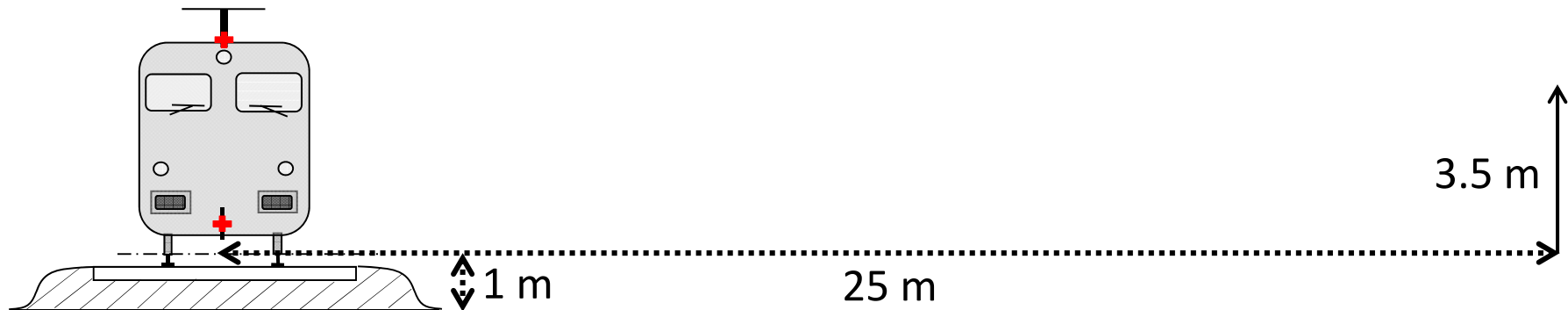
Beispiel:

Immissionspegel für Beispielzug

mehrere provisorische Annahmen für Eingangsdaten

Punkt	y	z	ONR305011	CNOSSOS-EU
IP1	7,5 m	1,2 m	62,1 dB	62,0 dB
IP2	25 m	3,5 m	55,9 dB	56,5 dB
IP3	100 m	4,0 m	48,0 dB	48,3 dB
IP4	300 m	4,0 m	41,0 dB	42,1 dB

Methods – Railroad Emission



Geometry comparable to ISO 3095 for fast trains

1 m rail segment

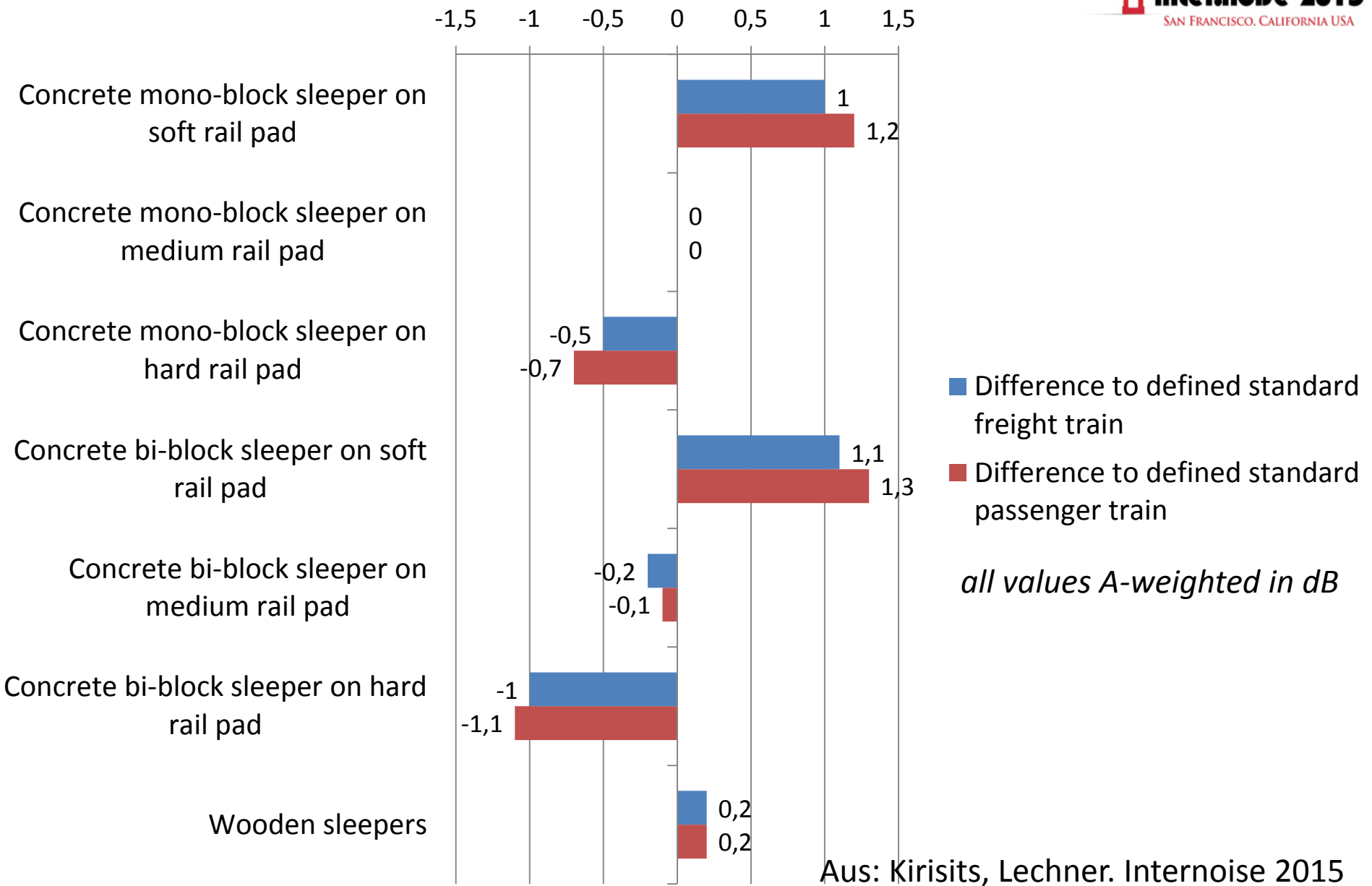
Uncompacted, loose ground (material identifier C, G=1)

Reference track:

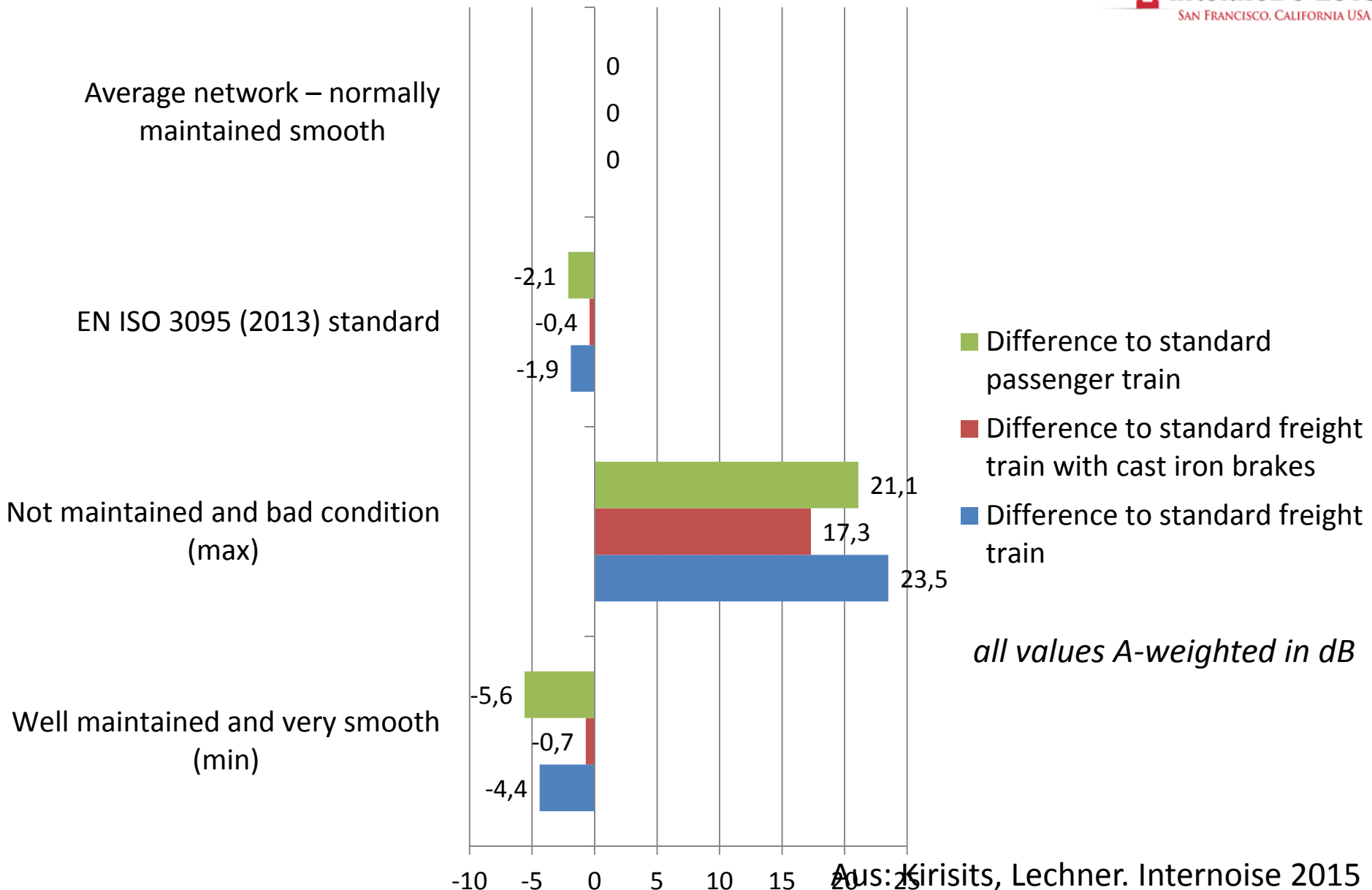
Concrete mono-block sleepers on medium railpad stiffness (250 to 800 MN/m), CNOSSOS default for superstructure transfer (empty), average network roughness, no impact noise (no joints), no bridge and no curve squeal

Aus: Kirisits, Lechner. Internoise 2015

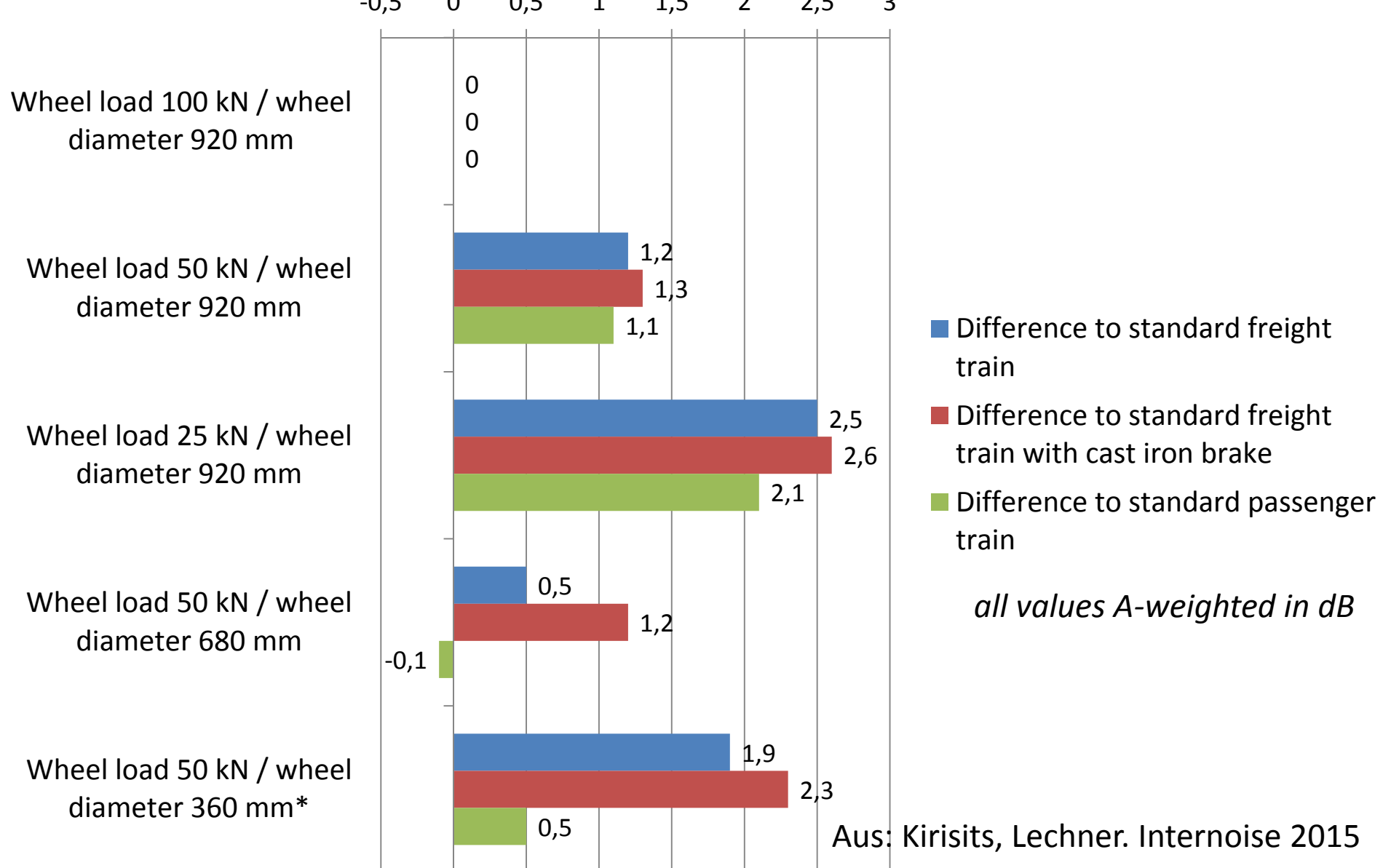
Influence of sleeper



Variation due to rail roughness



Variations due to vehicle transfer function and contact filter



Additional variations

Impact Noise:

One switch, joint or crossing for a segment length of 100 m	+ 13.5 dB
10 joints	+ 23.3 dB

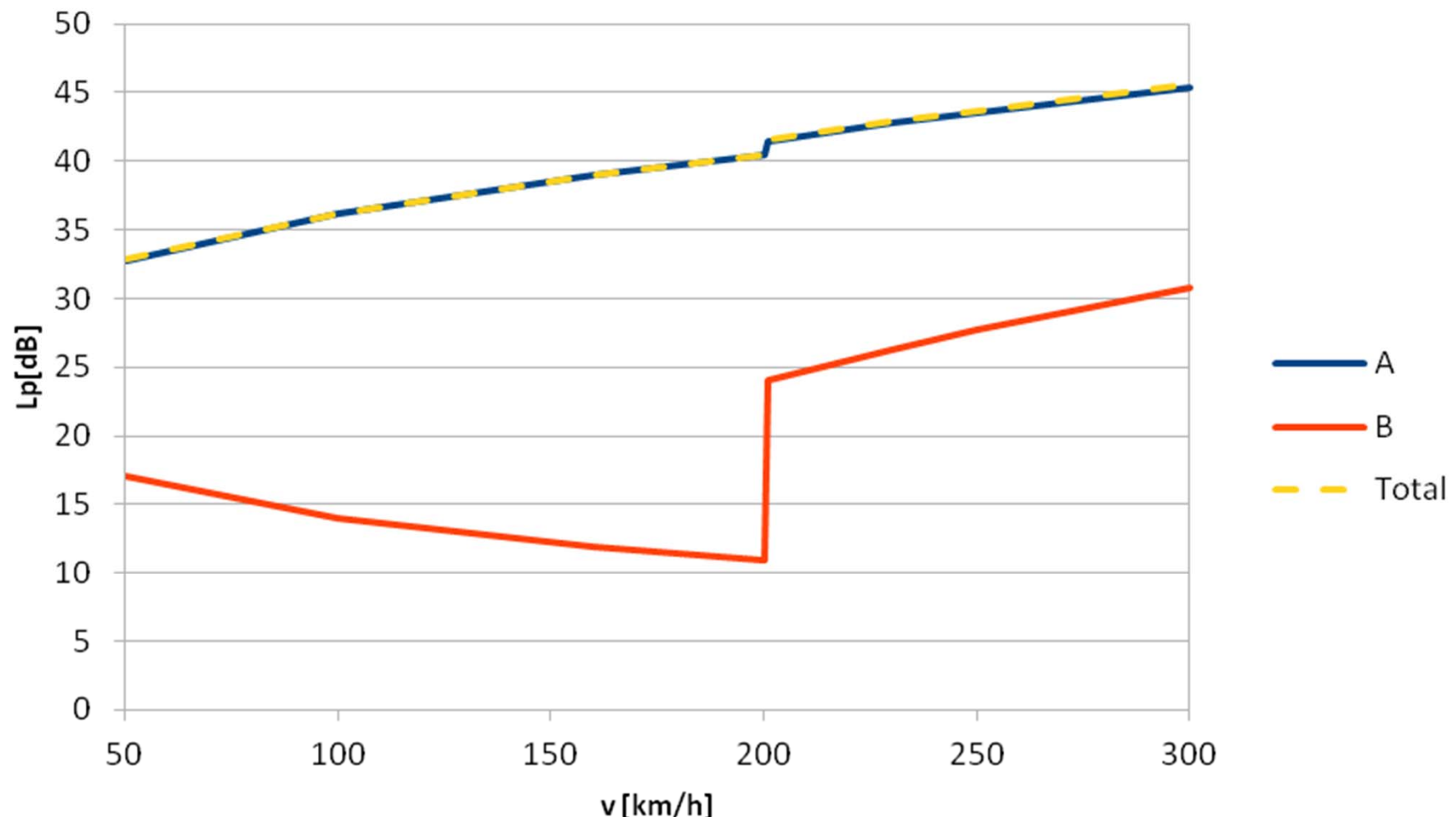
Bridge type:

Predominately concrete or masonry bridge	+ 1.0 dB
Predominately steel bridge with ballasted track	+ 4.0 dB

Squeal noise:

$300 \text{ m} < R < 500 \text{ m}$	+ 5.0 dB
$R < 300 \text{ m}$	+ 8.0 dB

Contribution of source A and source B



Might be of importance in case of barriers

Aus: Kirisits, Lechner. Internoise 2015

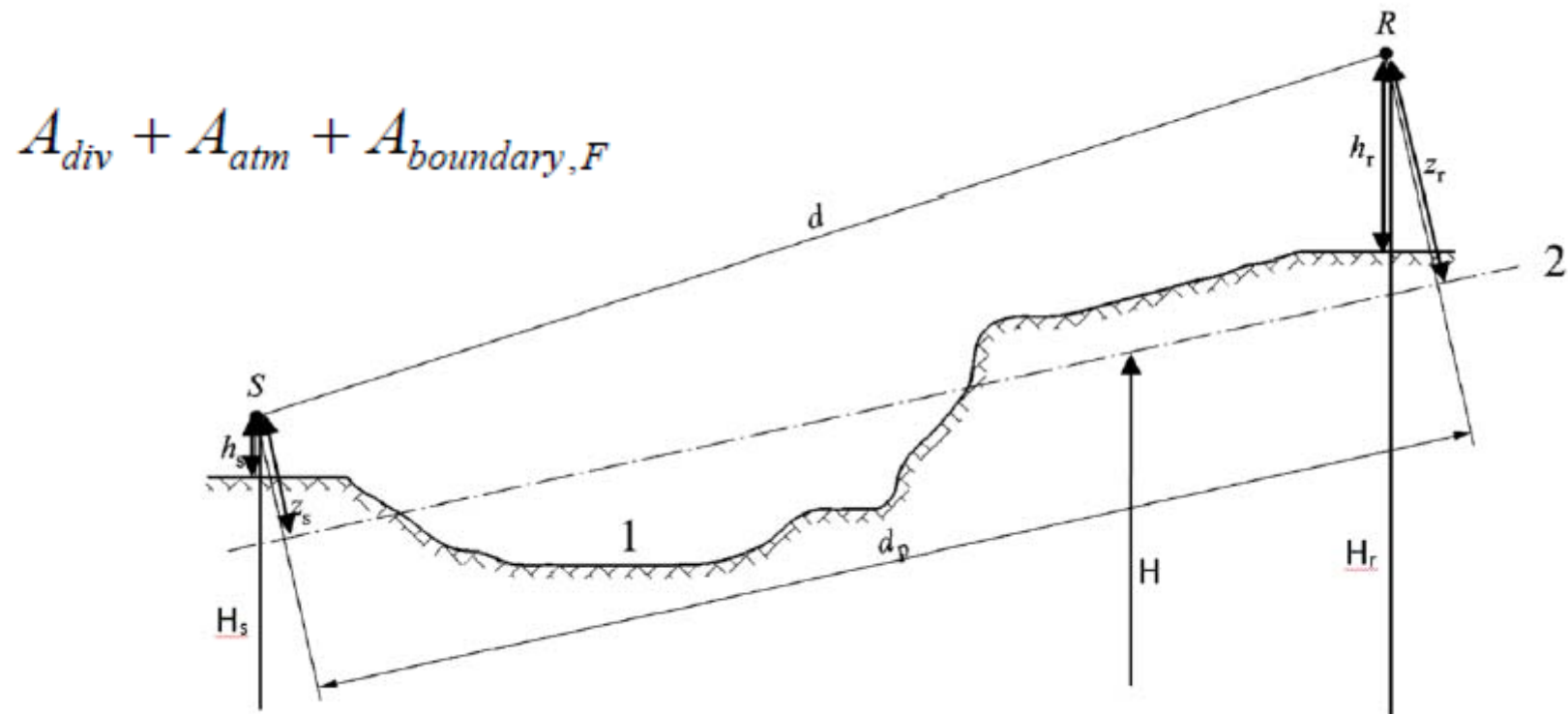
2.4. Industrie- und Gewerbelärm

Grundlagen

- Spektrum der abgestrahlten Schallleistungspegel in Oktavbändern
- Betriebszeiten (Tag, Abend, Nacht, im Jahresdurchschnitt)
- Ort (Koordinaten x, y) und Höhe (z) der Schallquelle
- Art der Quelle (Punkt, Linie, Fläche)
- Abmessungen und Ausrichtung
- Betriebsbedingungen der Quelle
- Richtverhalten der Quelle

2.5. Berechnung der Schallausbreitung von Straßen-, Eisenbahn- und Industrie-/Gewerbequellen

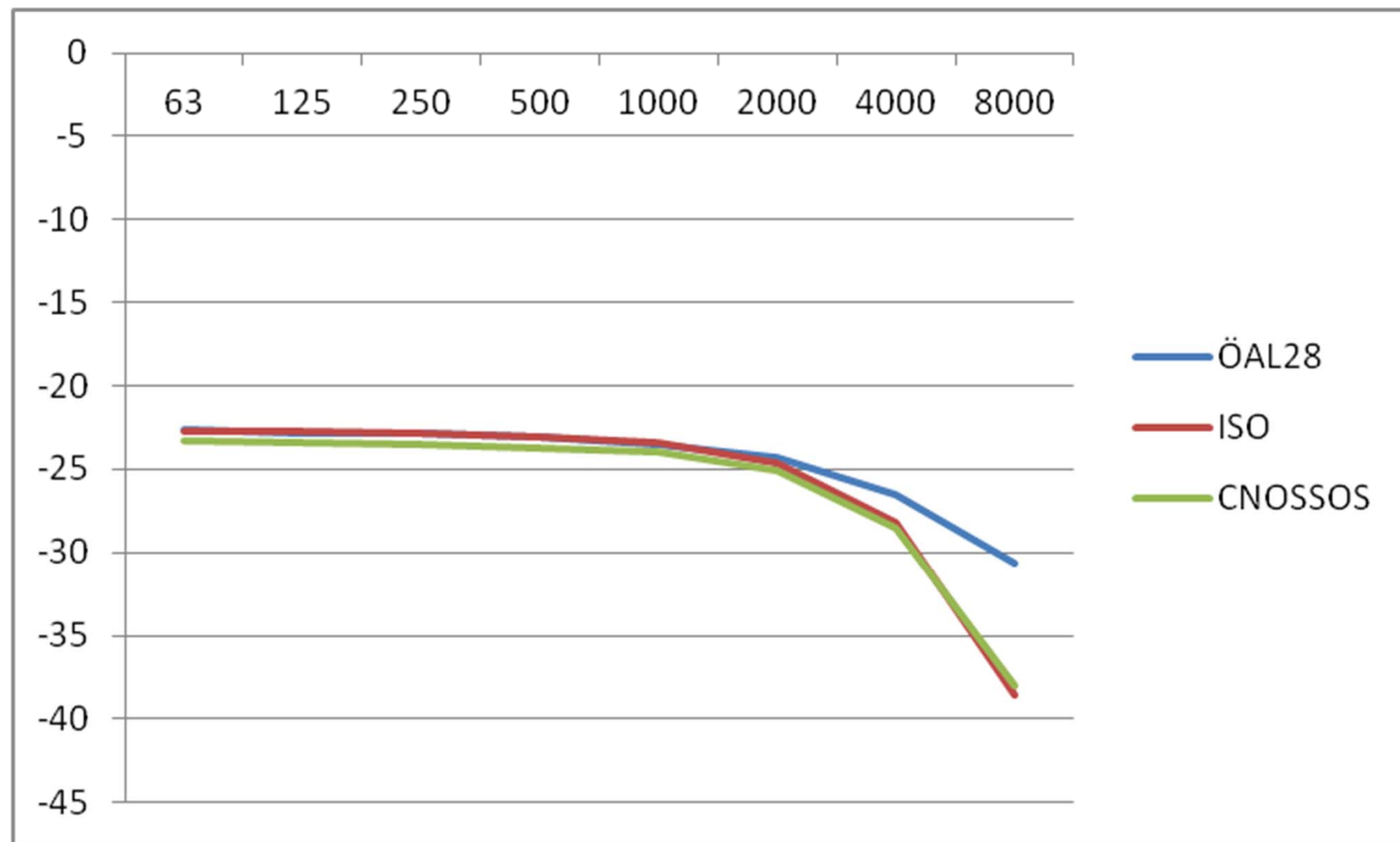
Grundlagen



2.5. Berechnung der Schallausbreitung

Frequenzabhängige Transmission

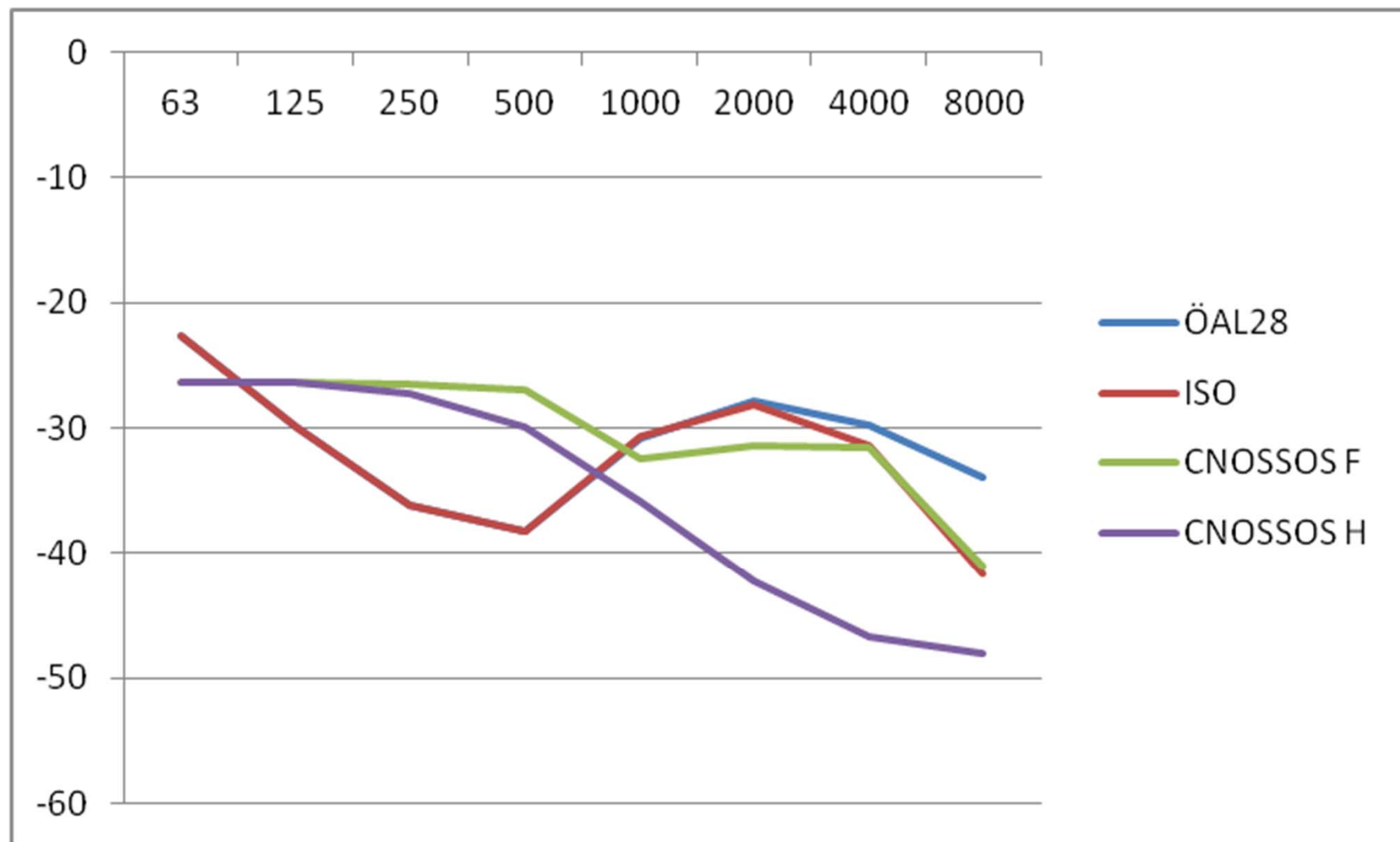
Akustisch hart – 100 m Entfernung / 4 m Höhe



2.5. Berechnung der Schallausbreitung

Frequenzabhängige Transmission

Akustisch porös – 100 m Entfernung / 4 m Höhe



2.5. Berechnung der Schallausbreitung Abschirmung

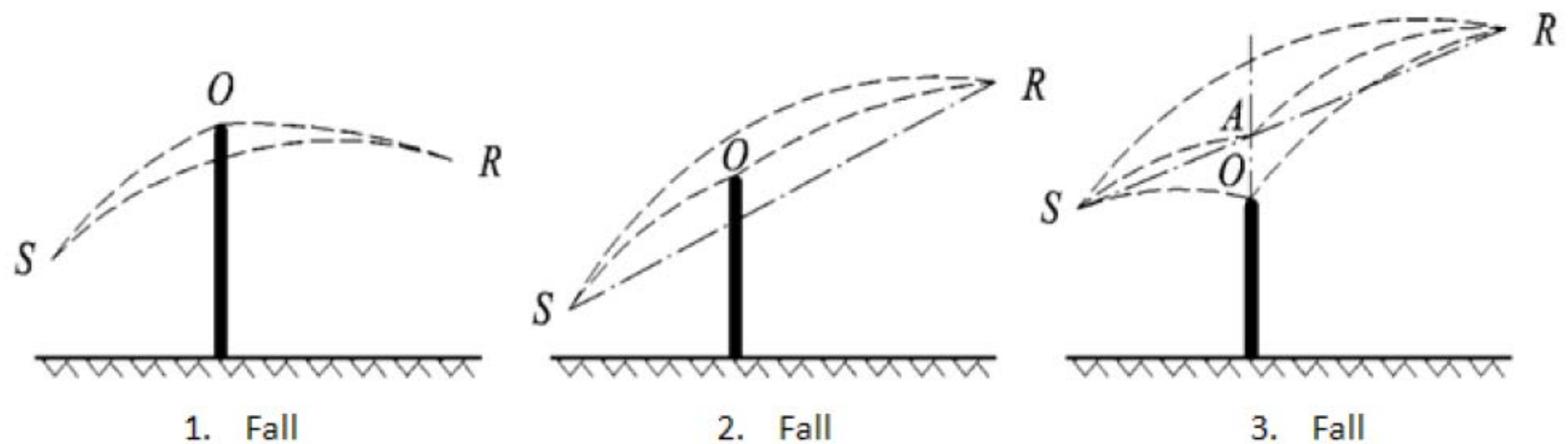
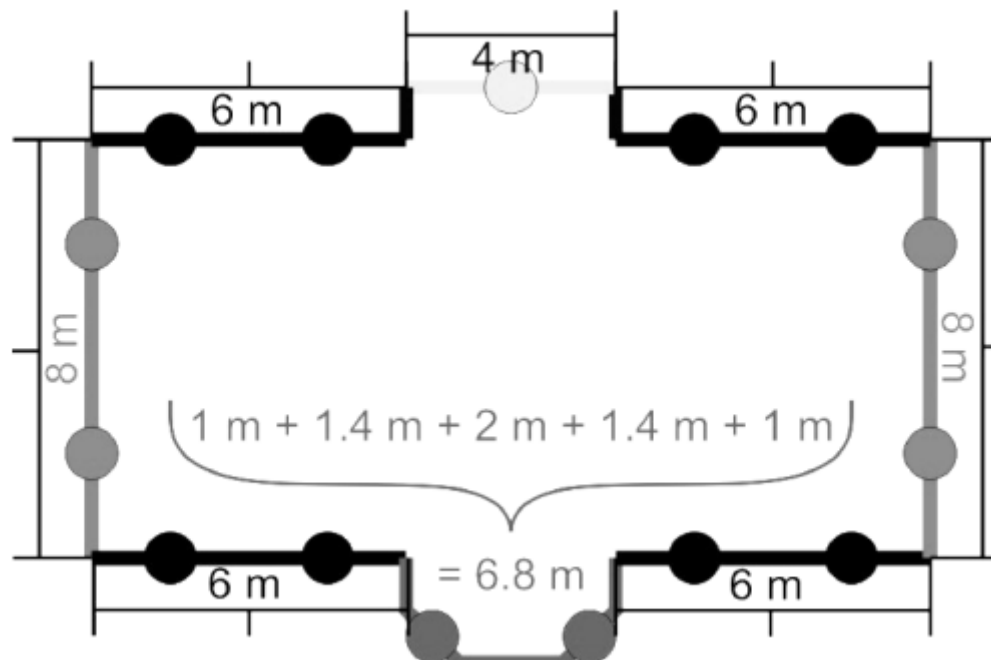


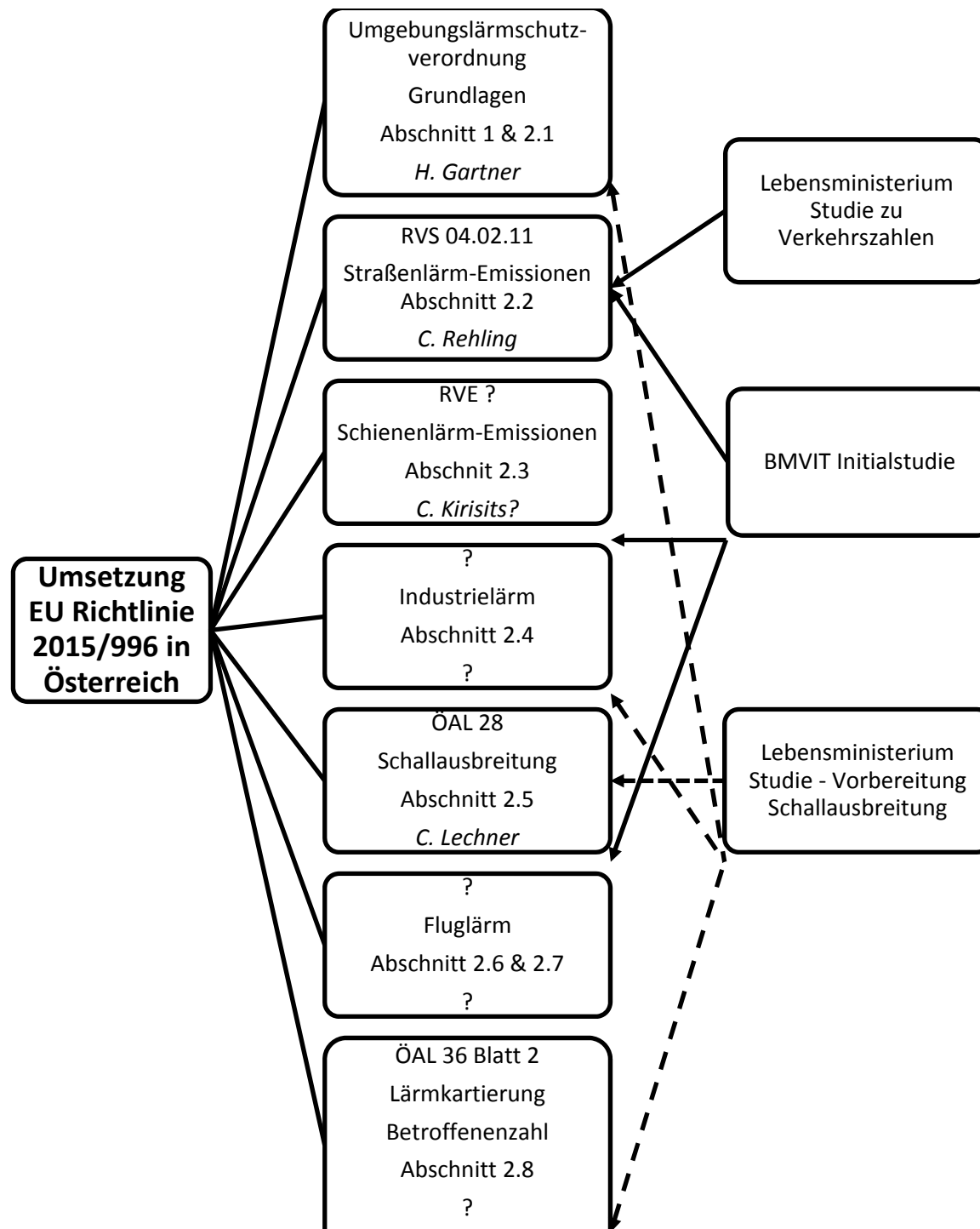
Abbildung 2.5.e: Berechnung der Weglängendifferenz bei günstigen Bedingungen (Einzelbeugung)

2.6. Allgemeine Bestimmungen – Fluglärm

2.7. Fluglärm

2.8. Zuweisung von Lärmpegeln und von Bewohnern zu Gebäuden





Danksagung!

den Auftrag gebenden Bundesministerien



Bundesministerium
für Verkehr,
Innovation und Technologie

